

# مقایسه خواص تریبولوژیکی ترکیبات SiC و TiC-NiAl

مجتبی خلقی، محمد باقر رهانی و علی شفیعی

دانشکده مهندسی مواد - دانشگاه صنعتی اصفهان

چکیده

در این پژوهش رفتار سایش و روانکاری کامپوزیت  $TiC-NiAl$  تولید شده به روش سنتز احتراقی و  $SiC$  تولید شده به روش سینترینگ به منظور کاربرد در پمپ (قسمت سطوح سخت آب بندهای مکانیکی) مورد مطالعه قرار گرفت. رفتار تریبولوژیکی  $SiC$  و  $TiC-NiAl$  و  $SiC$  به وسیله آزمون پین روی دیسک تحت شرایط خشک در دمای اتاق بررسی شد. ضریب اصطکاک و کاهش وزن نمونهای  $TiC-NiAl$  و  $SiC$  به وسیله آزمون پین روی دیسک اندازه‌گیری شد و نوع سایش به وسیله میکروسکوپ الکترونی رویشی و میکروسکوپ نوری بررسی شد. نتایج آزمایشگاهی نشان داد که نمونه  $TiC-NiAl$  ضریب اصطکاک و رفتار سایشی نزدیک به  $SiC$  دارد. نوع سایش برای نمونهای  $TiC-NiAl$  و  $SiC$  چسبان، خراشان و تریبوشیمیابی می‌باشد. همچنین نتایج میکرو و ماکروساختی نشان داد که  $TiC-NiAl$  همانند  $SiC$  سختی بالا برای استفاده در پمپ دارد.

واژه‌های کلیدی: سایش، اصطکاک، کامپوزیت  $TiC-NiAl$ ، چسبان، خراشان، سختی

## Comparison of tribological properties of SiC and TiC-NiAl compounds

**M. Kholghi, M. B. Rahaei, and A. Shafyei**

Department of Materials Engineering, Isfahan University of Technology

**Abstract:** In this research, the lubricity and wear behavior of sintered  $SiC$  ceramic was studied in comparison to  $TiC-NiAl$  composite produced by self propagation high temperature (combustion) synthesis for use in pump (Hard Face Part of Mechanical Seals). The tribological behavior of single phase  $SiC$  and  $TiC-NiAl$  was investigated by pin on disk tester under dry condition in room temperature. Coefficient of friction and wear lost of  $SiC$  and  $TiC-NiAl$  samples was measured by pin on disc test and main wear investigated by scanning electron microscopy (SEM) and optical microscopy (OM). Experimental results showed that  $TiC-NiAl$  has friction coefficient and wear behavior close to  $SiC$ . Dominant mechanism of wear for  $TiC-NiAl$  and  $SiC$  is adhesion, abrasion and tribochemical. Also micro and macro hardness result showed that  $TiC-NiAl$  has high hardness like  $SiC$  for use in pump.

**Keywords:** Wear, Friction,  $TiC-NiAl$  Composite, Adhesion, Abrasion, Hardness

E-mail of corresponding author (s): [rahaei@merc.ac.ir](mailto:rahaei@merc.ac.ir)

## مقدمه

است [۵]. سنتز احتراقی دما بالا نیز در سیستم چهارتایی Ti-C-Ni-Al استفاده می‌شود. مزیت روش سنتز احتراقی<sup>۱</sup> شامل ملزومات انرژی کم، سادگی نسبی فرایند و تجهیزات، خلوص بالای محصولات و قیمت کم است [۶]. از این رو خصوصیات تریبولوژیکی TiC-NiAl تولید شده به روش سنتز احتراقی را با SiC برای جایگزینی در پمپ مقایسه می‌کنیم.

## روش تحقیق آزمون سایش (پین روی دیسک)

برای اندازه‌گیری ضریب اصطکاک و عمر سایشی آزمون پین روی دیسک برای شبیه‌سازی کار آب بند مکانیکی بر روی نمونه‌های SiC و TiC-NiAl تولید شده به روش سنتز احتراقی انجام گرفت. به این منظور واشر آب بند مکانیکی به قطر ۳ cm و ضخامت ۰/۵ mm پته شد و آزمون سایش انجام شد. زیری سطح نمونه‌ها در حدود ۲۰  $\mu\text{m}$  به دست آمد. شرایط آزمون در جدول ۱ آمده است. در شکل ۱ دستگاه آزمون سایش پین روی دیسک و واشرهای TiC-NiAl و SiC نشان داده شده است.

بررسی سطوح نمونه‌ها قبل و بعد از آزمون سایش آنالیز عنصری نمونه‌ها با استفاده از تکنیک EDS<sup>۲</sup>، ساختار تریبولوژیکی سطح نمونه‌ها با استفاده از میکروسکوپ الکترونی<sup>۳</sup> (SEM) مدل XL3 ساخت کمپانی PHILIPS<sup>۴</sup> و میکروسکوپ متالوگرافی معکوس<sup>۵</sup> (مدل PIPHO300) ساخت کمپانی Nikon<sup>۶</sup> مورد مطالعه قرار گرفت و بررسی مورفولوژی ذرات سایش و رد سایش از استرسکوپ<sup>۷</sup> (مدل SMZ 800) ساخت کمپانی

در دو دهه اخیر استفاده از مواد سرامیکی برای کاربردهای تریبولوژیکی افزایش یافته است. این اساساً به علت خصوصیات خاص سرامیک‌ها مانند چگالی کم، مقاومت به خوردگی بالا، انساط حرارتی کم و سختی بالا در محدوده وسیعی از دما است. در این گروه کاربید سیلیسیم سختی بالا، استحکام نسبی بالا، نقطه ذوب بالا و نسبت استحکام به چگالی بالا دارد، که مقاومت بالا به سایش و خراش را نتیجه می‌دهد [۱].

یکی از مهم‌ترین قطعاتی که در سال‌های گذشته تحقیقات وسیعی را به خود اختصاص داده است واشرهای مصرفی در آب بندهای مکانیکی پمپ‌ها است. کاربید سیلیسیم از جمله ترکیبات کاربیدی مهم است که در پمپ‌ها به عنوان واشر آب بند مکانیکی (قسمت سطوح سخت) به کار برده می‌شود. یکی از روش‌های مهم تولید آن روش سیترینگ<sup>۱</sup> است که روشی پر هزینه و زمان بر می‌باشد [۲].

ترکیبات بین فلزی خصوصیاتی دارند که آنها را خیلی جذاب برای کاربردهای صنعتی می‌سازد. Ni<sub>3</sub>Al و NiAl پتانسیل بالا در کاربردهای دما بالا مانند توربین‌های گازی، فیکسچرهای عملیات حرارتی و پوشش‌های مقاوم به خوردگی دارند. NiAl مناسب‌تر از Al برای کاربردهای دما بالا می‌باشد. ساختار استفاده شده از NiAl داکتیلیته کم، تافنس شکست ضعیف و استحکام ناکافی در دمای بالا دارد. بنابراین بیشتر تلاش‌ها بر این است تا خواص NiAl را به وسیله فاز تقویت کننده شامل TiC، TiB<sub>2</sub>، Al<sub>2</sub>O<sub>3</sub> ترد است ولی فلزاتی مانند Ni، Co و Fe همانند فاز ثانویه داکتیل، تافنس شکست را بهبود می‌بخشند. کاربید تیتانیم تکفاز کردن ترکیب بین فلزی NiAl به فاز TiC، خصوصیات مکانیکی خوب را نتیجه می‌دهد [۳ و ۴]. سیترینگ فاز مذاب و نفوذ مذاب دو تکنیک متداول در تولید این مواد

<sup>2</sup> Self Propagation High Temperature Synthesis

<sup>3</sup> Energy dispersive spectrometer

<sup>4</sup> Scanning electron microscopy

<sup>5</sup> Inverted Metallurgical Microscope

<sup>6</sup> Stereoscopic Zoom Microscope

<sup>7</sup> Sintering



ب) دستگاه آزمون پین روی دیسک



شکل (۱) (الف) نمونه واشرهای SiC و TiC-NiAl

جدول (۱) شرایط آزمون پین روی دیسک

| نوع پین         | سختی پین | قطر پین | دما   | محیط | رطوبت نسبی | نیروی عمودی (kg) | سرعت خطی (m/s) |
|-----------------|----------|---------|-------|------|------------|------------------|----------------|
| فولاد رول برینگ | ۶۴RC     | ۰/۵ cm  | ۲۳ °C | خشک  | % ۲۵       | ۲۰ و ۲۴، ۲۸      | ۰/۰۸           |

نمودار ضریب اصطکاک بر حسب مسافت طی شده (عمر سایشی) برای ترکیبات SiC و TiC-NiAl در بارهای ۲۰، ۲۴ و ۲۸ کیلوگرم برای مسافت طی شده ۱۰۰۰ متر به ترتیب در شکل های ۵ و ۶ آمده است. دلیل انتخاب این بارها برای آزمون سایش تغییر سریع در افزایش ضریب اصطکاک در یک بار بحرانی در ترکیبات است که این تغییر سریع برای افزایش سایش (کاهش وزن) نمونه نیز صحیح است و کاربرد دارد [۷]. این تغییر سریع در بار ۲۴۰ نیوتون برای نمونه ها به دست آمد.

محدوده ضریب اصطکاک در بارهای مختلف در جدول ۲ آمده است. نتایج نشان می دهد که ضریب اصطکاک در نمونه TiC-NiAl (۰/۴۱-۰/۳۵) نزدیک به خصوصاً در نیروی اعمالی کم (۲۰۰ نیوتون) است. از این رو مقدار روانکاری نمونه TiC-NiAl در حد قابل قبول با نمونه SiC برای کار در پمپ است.

هنگامی که سطح ماده به طور کامل در خلاء تمیز شده باشد و کاملاً صاف و بدون هیچ گونه پستی و بلندی در حد میکروسکوپی باشد، نیروی برشی سبب افزایش پلاستیسیته در محل اتصال شده و ضریب اصطکاک به طور ناگهانی افزایش می یابد. در واقع میزان اتصالات دو سطح افزایش یافته است. اما در حالی که سطح نمونه فلزی کاملاً

(Nikon) استفاده شد. مطالعات فازشناسی توسط دستگاه پراش پرتو ایکس<sup>۱</sup> مدل Philips Xpert-MPD، مجهر به نرم افزار فازیابی انجام شد.

**سختی سنجی**  
ماکرو سختی در مقیاس RA و میکروسختی در مقیاس ویکرز برای نمونه ها به دست آمد.

**نتایج و بحث**  
آنالیز تفرق اشعه ایکس نمونه های SiC و TiC-NiAl (شکل ۲)، تصاویر SEM (شکل ۳) و آنالیز EDS در شکل ۴ آمده است. نتایج در نمونه SiC تکفاز و در نمونه TiC-NiAl فازهای TiC و NiAl را نشان می دهد. همچنین تخلخل های سطحی خصوصاً در نمونه SiC به وضوح مشخص است. لازم به ذکر است به دلیل حساسیت کم آنالیز EDS به عناصر سبک، در این روش درصد اتمی عناصر سبک مانند کربن را ناچیز نشان می دهد [۷].

متر و نیروی ۲۴۰ نیوتون) بوده است و عمر سایشی نمونه  $TiC-NiAl$  در حد قابل قبول با نمونه  $SiC$  است.

به منظور ارزیابی مکانیزم سایش برای نمونه‌ها در آزمون پین روی دیسک تصاویر میکروسکوپ الکترونی روبشی، آنالیز عنصری از سطوح سایش، تصاویر میکروسکوپ نوری از مسیر سایش، سطوح پین و ذرات حاصل از سایش نشان داده شده‌اند.

در شکل ۸ تصاویر SEM از سطح سایش، شکل ۹ تصاویر مسیر سایش، سطح پین و ذرات حاصل از سایش و در شکل ۱۰ آنالیز EDS برای نمونه  $SiC$  پس از آزمون پین روی دیسک ارائه شده است. همان‌طور که تصاویر SEM و میکروسکوپ نوری نشان می‌دهد چسبندگی ذرات سایش (سایش چسبان)، ایجاد ذرات سایش اکسیدی (سایش تریبوشیمی) و ایفا کردن نقش پودر ساینده توسط ذرات سایش اکسیدی را می‌توانیم داشته باشیم (سایش خراشان) که باعث انهدام مداوم سطح می‌شوند. مورفولوژی ذرات حاصل از سایش به صورت ذرات سیاه کروی (تریبوشیمی)، کلوخه‌ای (خراشان) و ورقه‌ای (چسبان) است. همچنین بر روی پین اثر خراش مشخص است و آنالیز EDS علاوه بر عناصر سیلیسیم و کربن، عنصر آهن که ترکیب اصلی نمونه پین فولادی است و اکسیژن را روی سطح نشان داد. در طی فرایند سایش لایه اکسیدی ایجاد شده پایداری مناسب را ندارد و پس از مدتی از سطح جدا می‌شود و به همین ترتیب جدا شدن و چسبیدن ذرات به سطح نمونه تکرار می‌شود. از این رو با توجه به نتایج فوق و نمودار شکل ۷، در نمونه  $SiC$  در آزمون سایش، سایش‌های خراشان، چسبان و تریبوشیمیایی مکانیزم‌های غالب است [۷، ۹ و ۱۱].

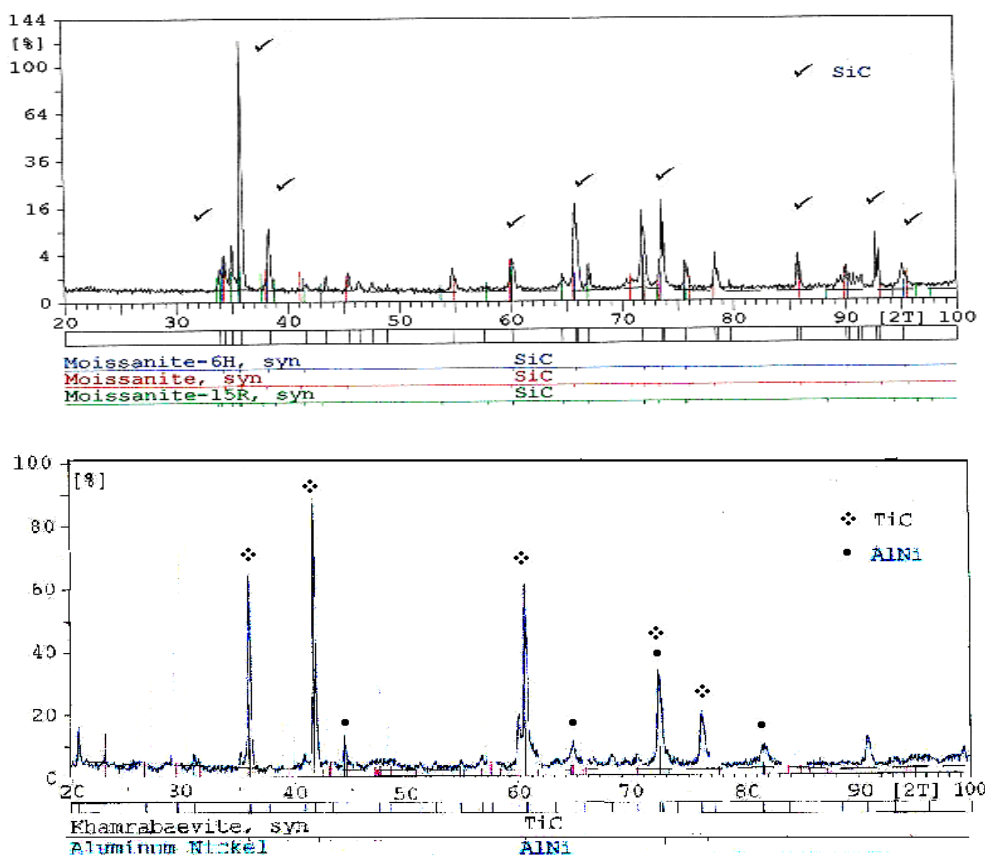
شکل ۱۰ تصاویر SEM از سطح سایش، در شکل ۱۲ تصاویر رد سایش، سطح پین و ذرات حاصل از سایش و در شکل ۱۳ آنالیز EDS برای نمونه  $TiC-NiAl$  پس از آزمون پین روی دیسک ارائه شده است. در تصاویر میکروسکوپی وجود پوسته اکسیدی، چسبندگی آن به

تمیز و صیقلی نشده باشد وجود یک فیلم اکسیدی بر روی سطح آن می‌تواند شدیداً سبب کاهش اصطکاک نسبت به حالت قبل گردد [۹].

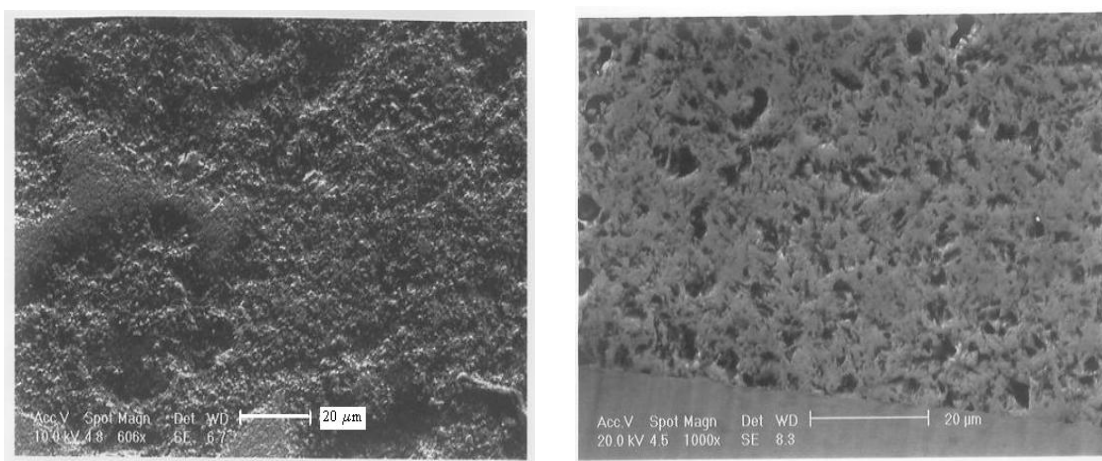
به طور کلی می‌توان گفت که نقش اصلی در کاهش سایش و اصطکاک را لایه‌های اکسیدی روانکار بازی می‌کنند. اگر بار اعمالی کم باشد و اکسیداسیون خودبه خود طبیعی از فلز انجام شود، سرعت سایش نسبتاً کم خواهد شد. در واقع سایش منجر به کاهش استحکام برشی از سطح اکسید-فلز می‌شود و اکسید مانند یک روانکار عمل می‌کند، که باعث کاهش ضریب اصطکاک و ایجاد سایش متوسط می‌شود. سایش متوسط مشخصه مواد لغزشی خشک است که اکسید محافظ طبیعی می‌تواند به طور پیوسته تغییر شکل دهد. بنابراین در سطوح لغزشی اکسید محافظه کار خشک عمل می‌کند و سرعت سایش را کاهش می‌دهد. در بارهای بالا سرعت اکسیداسیون سریع افزایش می‌یابد و می‌تواند دوباره یک لایه محافظ تشکیل دهد و سایش متوسط دوباره پایدار شود. تفاوت در لایه اکسیدی تشکیل شده روی نمونه به دلیل تفاوت در مقاومت اکسیداسیون از ترکیبات مختلف است [۷ و ۱۰].

در بین فازهای  $TiC$  و  $SiC$  بیشترین مقاومت به اکسیداسیون مربوط به فاز  $SiC$  می‌باشد. واکنش‌های اکسیداسیون برای این فازها و برای عناصر  $Ni$  و  $Al$  در جدول ۳ آمده است. این عناصر یا فازها می‌توانند مقاومت به اکسیداسیون عالی داشته باشند یا تشکیل لایه اکسیدی پایدار دهند، از این رو قابلیت کاربرد در شرایط مختلف را دارند [۷ و ۱۰].

منحنی مشخصه سایش (تغییرات کاهش وزن-مسافت طی شده) برای نمونه‌های  $TiC-NiAl$  و  $SiC$  در آزمون سایش در بار ۲۴ کیلوگرم به دست آمد (شکل ۷). با توجه به منحنی مشخصه سایش کاهش وزن در نمونه‌های  $SiC$  و  $TiC-NiAl$  کم (حدود ۲ میلی‌گرم در مسافت ۱۰۰۰

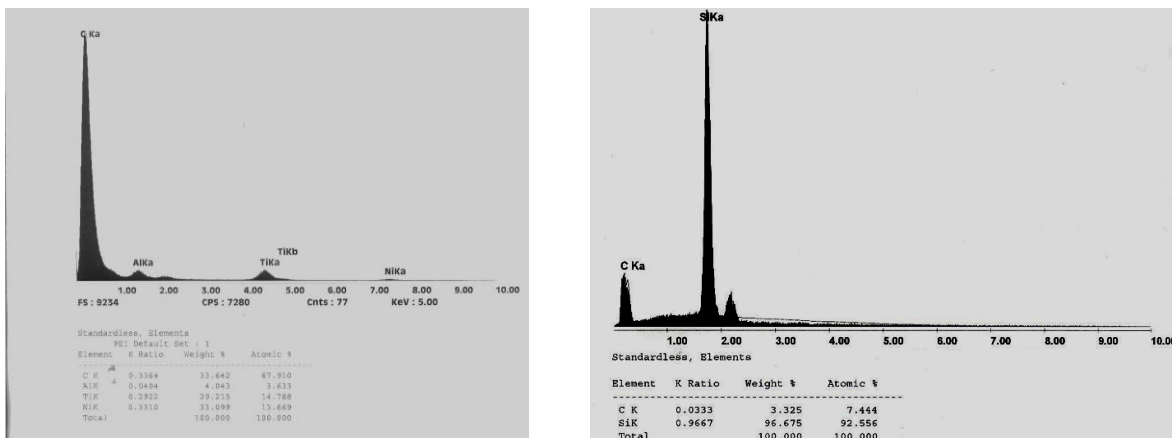


شکل ۲- آنالیز تفرق اشعه ایکس در نمونه‌های (الف)  $\text{TiC-NiAl}$  (ب) واشر آب بند مکانیکی  $\text{SiC}$

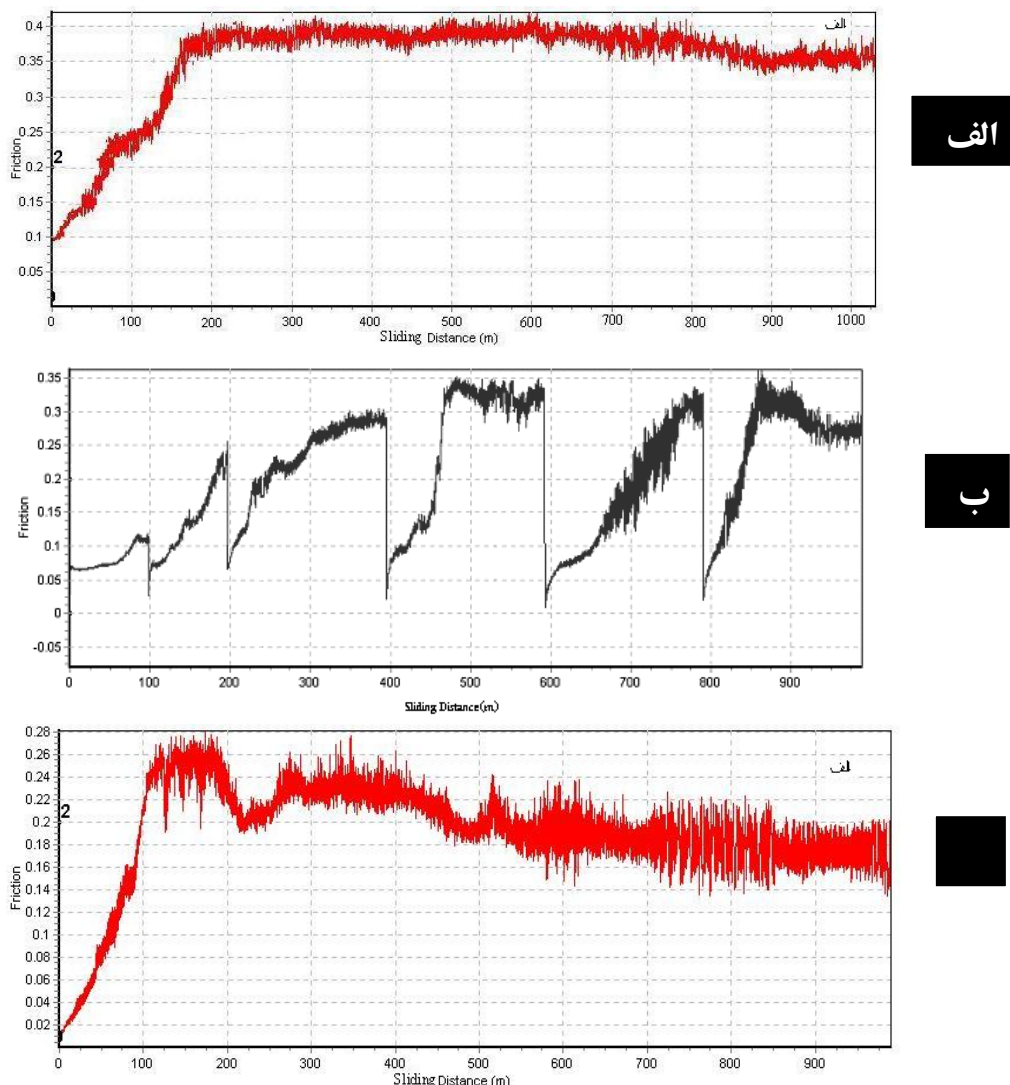


شکل ۳- تصاویر SEM ترکیب  $\text{SiC}$  (ب) نمونه  $\text{TiC-NiAl}$

شکل ۳- تصاویر SEM ترکیب  $\text{SiC}$

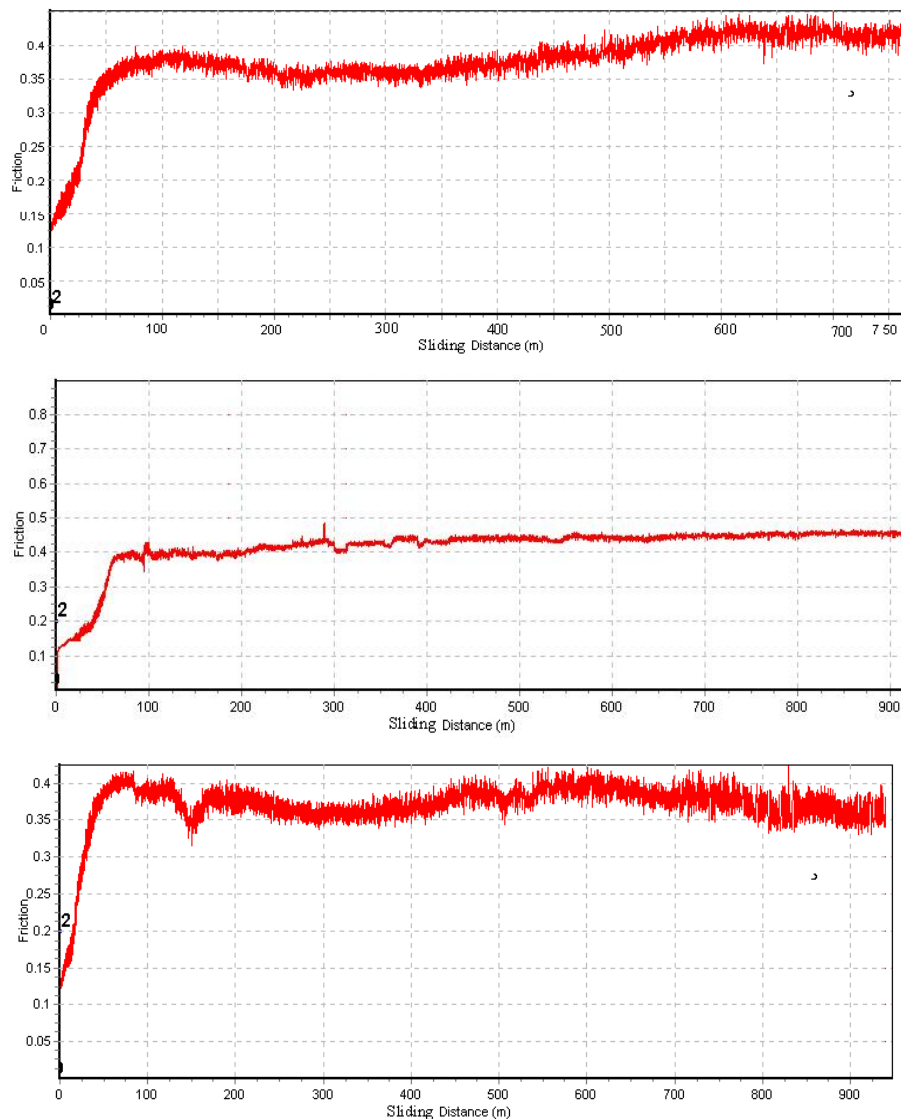


شکل ۴- آنالیز EDS در نمونه‌های (الف) واشر آب بند مکانیکی SiC (ب) در نمونه واشر TiC-NiAl



شکل ۵- نمودار ضریب اصطکاک بر حسب عمر سایشی ترکیب SiC در سرعت خطی  $0.07 \text{ m/s}$

(الف) بار  $20 \text{ kg}$  (ب)  $24 \text{ kg}$  (ج)  $28 \text{ kg}$



شکل ۶- نمودار ضریب اصطکاک بر حسب عمر سایشی ترکیب TiC-NiAl در سرعت خطی  $0.07 \text{ m/s}$   
الف) بار  $20\text{kg}$  ب)  $24\text{kg}$

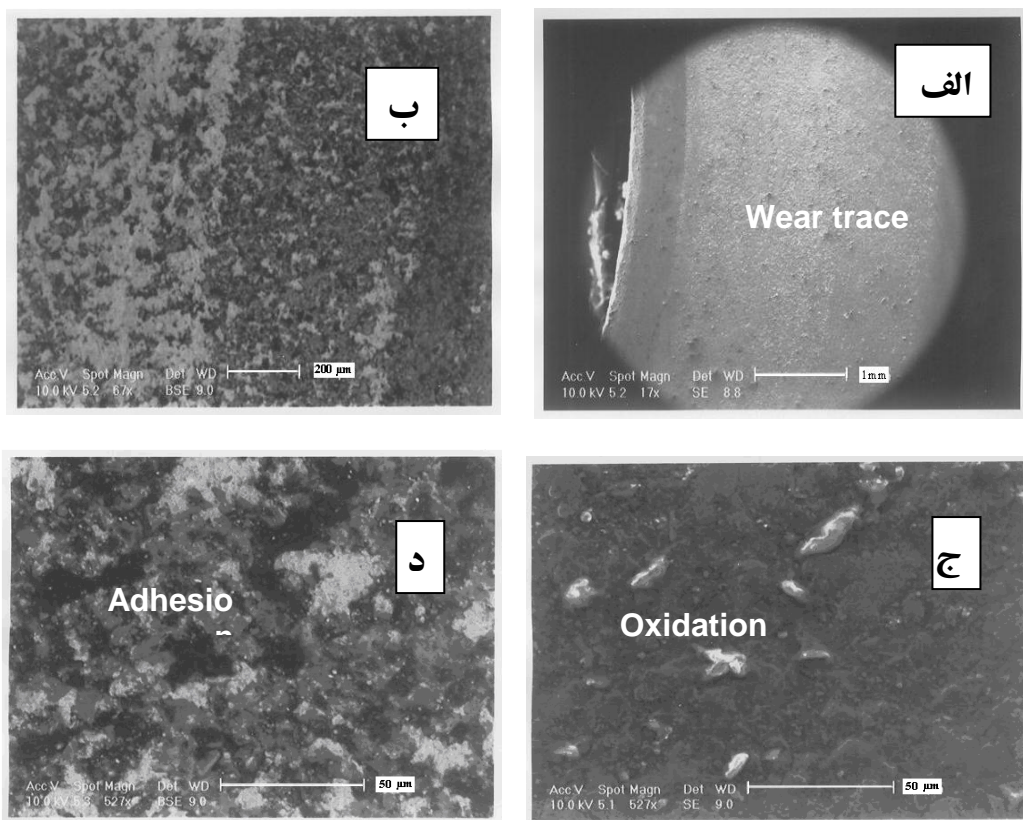
جدول ۲- محدوده ضریب اصطکاک برای ترکیبات .SiC و TiC-NiAl

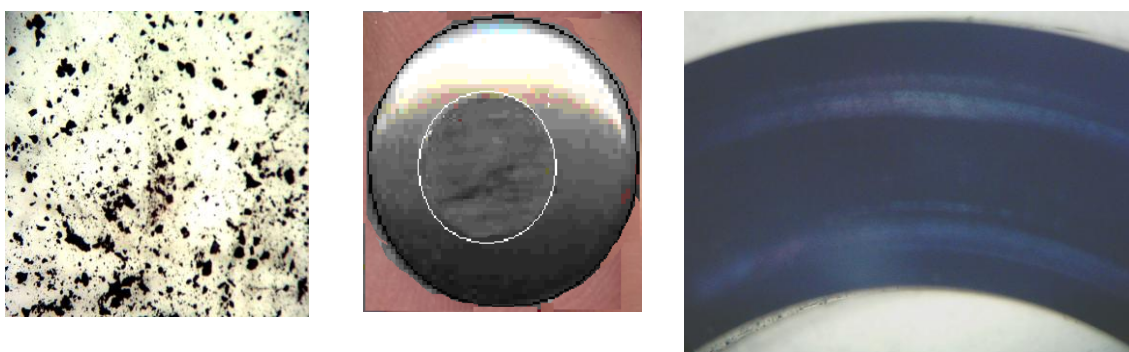
| ترکیبات  | $20 \text{ kg}$ | $24 \text{ kg}$ | $28 \text{ kg}$ |
|----------|-----------------|-----------------|-----------------|
| SiC      | $0/41-0/35$     | $0/35-0/2$      | $0/28-0/16$     |
| TiC-NiAl | $0/43-0/35$     | $0/4-0/45$      | $0/48-0/33$     |

جدول ۳- واکنش های اکسیداسیون برای فازها و عناصر در نمونه ها.

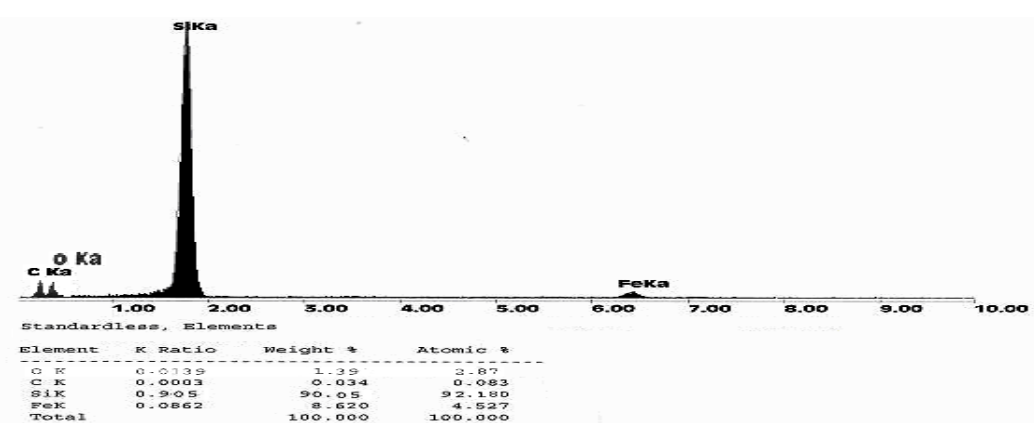
| واکنش های اکسیداسیون  | $\Delta G_{f298}$ (kJ) |
|---|------------------------|
| $\text{SiC} + 2\text{O}_2 \rightarrow \text{SiO}_2 + \text{CO}_2$               | -589                   |
| $\text{SiC} + 3/2\text{O}_2 \rightarrow \text{SiO}_2 + \text{CO}$               | -614                   |
| $\text{TiC} + 2\text{O}_2 \rightarrow \text{TiO}_2(\text{Rutil}) + \text{CO}_2$ | -551                   |
| $\text{TiC} + 3/2\text{O}_2 \rightarrow \text{TiO}_2(\text{Rutil}) + \text{CO}$ | -564                   |
| $2\text{TiC} + 5/2\text{O}_2 \rightarrow \text{Ti}_2\text{O}_3 + \text{CO}$     | -539                   |
| $3\text{TiC} + 4\text{O}_2 \rightarrow \text{Ti}_3\text{O}_5$                   | -547                   |
| $4\text{TiC} + 11/2\text{O}_2 \rightarrow \text{Ti}_4\text{O}_7 + 4\text{CO}$   | -553                   |
| $\text{Ti} + \text{O}_2 \rightarrow \text{TiO}_2$                               | -860                   |
| $\text{Ni} + 1/2 \text{O}_2 \rightarrow \text{NiO}$                             | -230                   |
| $2\text{Al} + 3/2 \text{O}_2 \rightarrow \text{Al}_2\text{O}_3$                 | -1689                  |

مقدار انرژی آزاد مربوط به یک مول است.

شکل ۸- تصاویر SEM سطح سایش نمونه  $\text{SiC}$  در بزرگنمایی های مختلف



شکل ۹- (الف)  $\times 7$  رد سایش نمونه SiC (ب)  $\times 7$  سطح سایش پین (ج)  $\times 14$  ذرات حاصل از سایش

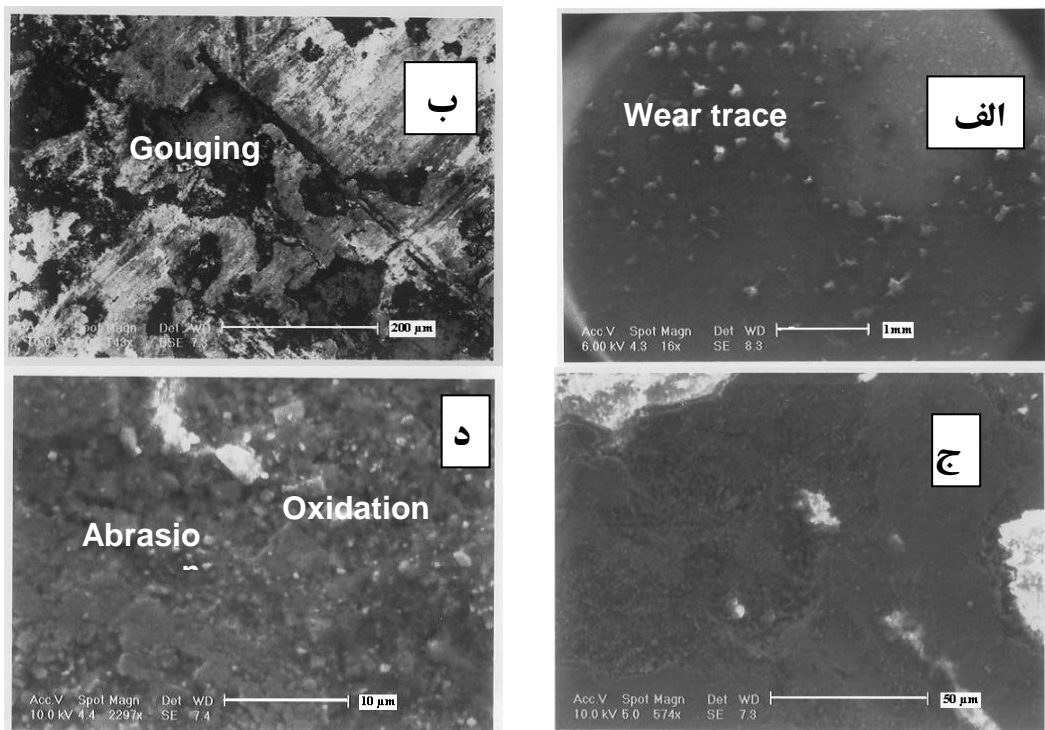


شکل ۱۰- آنالیز EDS سطح سایش نمونه SiC پس از آزمون پین روی دیسک.

خشک عمل می‌کند و سرعت سایش را کاهش می‌دهد. با NiAl در نمونه TiC-NiAl سایش‌های چسبان، خراشان و تربیو شیمیایی مکانیزم‌های غالب است [۷، ۹، ۱۱].

سختی نمونه‌ها در جدول ۴ آمده است. نتایج نشان داد سختی نمونه TiC-NiAl کمتر، اما در حد قابل قبول با نمونه SiC برای کار در پمپ است. افزایش سختی همواره یک پارامتر موثر برای بالا بردن مقاومت سایشی آلیازه است. افزایش سختی ماده تحت سایش می‌تواند نفوذ مواد ساینده را محدود کرده و سرعت سایش را کاهش دهد. بنابراین سختی بالا در نمونه‌های TiC-NiAl و SiC به طور موثری باعث کاهش نرخ سایش گردیده است [۱۲].

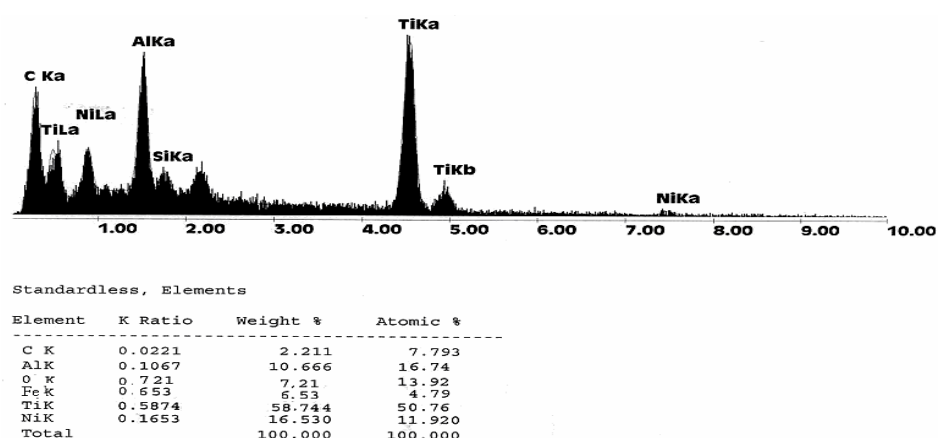
در تصاویر میکروسکوپی وجود پوسته اکسیدی، چسبندگی آن به سطح و جدا شدن پوسته اکسیدی (کندگی) مشخص شده است. در تصویر سطح پین کنده شدن ذرات از سطح آن مشهود است. همچنین آنالیز EDS علاوه بر عناصر ترکیب TiC-NiAl بر روی سطح سایش، عناصر ترکیب پین فولادی مانند آهن و همچنین اکسیژن را نشان می‌دهد. اگر نیروهای اعمالی (بارها) زیاد باشند و اکسید محافظت نمایند به طور موثر تشکیل شود، کندگی اتفاق می‌افتد و سرعت سایش و اکسیداسیون زیاد خواهد شد. همچنین می‌تواند دوباره یک لایه محافظ تشکیل دهد و سایش متوسط (چسبان و خراشان) دوباره پایدار شود. سایش محافظ طبیعی می‌تواند به طور پیوسته تغییر شکل دهد. بنابراین در سطوح لغزشی مواد لغزشی خشک است که اکسید



شکل ۱۱- تصاویر SEM سطح نمونه  $\text{TiC-NiAl}$  در بزرگنمایی های مختلف.



شکل ۱۲- (الف)  $\times 7$  رد سایش نمونه  $\text{TiC-NiAl}$  (ب)  $\times 14$  سطح سایش پین (ج)  $\times 14$  ذرات حاصل از سایش.



شکل ۱۳. آنالیز EDS سطح سایش در نمونه  $\text{TiC-NiAl}$  پس از آزمون پین روی دیسک.

### مراجع

1. R. Ried, *Handbook of Ceramic Hard Materials*, Vol. 2, Wiley- VCH, 2000.
2. Rolf Wāsche, Dieter Klaffke, *Ceramic particulate composites in the system SiC-TiC-TiB<sub>2</sub> sliding against SiC and Al<sub>2</sub>O<sub>3</sub> under water*, Tribology International 32 (1999) pp. 197-206.
3. Nuri Durla, *Titanium Carbide Based Composites for High Temperature Applications*, Journal of the European Ceramic Society 19 (1999) pp. 1415-1419.
4. C.L. Yeh, C.Y. Chungb, P.H. Lin and S.D. Wang, *Effects of TiC addition on combustion synthesis of NiAl in SHS mode*, Journal of Alloys and Compounds 398(2005) pp. 85-93.
5. M. X. Gao, Y. Pan, F. J. Oliveira, J. L. Baptista and J. M. Vieira, *Interpenetrating microstructure and fracture mechanism of NiAl/TiC composites by pressureless melt infiltration*, Materials Letters 58(2004) pp. 1761-1765.
6. C. Curfs, I.G. Cano,G.B.M. Vaughan,X. Turrillas, A. Kvick, and M.A. Rodr guez, *TiC-NiAl composites obtained by SHS: a time-resolved XRD study*, Journal of the European Ceramic Society 22 (2002) pp. 1039-1044.
7. R. Wasche, D.Klaffke and T. Troczynski, *Tribological performance of SiC and TiB<sub>2</sub> against SiC and Al<sub>2</sub>O<sub>3</sub> at low sliding speeds*, Wear 256(2004) pp. 695-704.
8. D. Klaffke and M. Hartelt, *Tribological characterization of thin hard coating by reciprocating sliding tests*, Tribol. Lett. 1 (1995) pp. 265-276.
9. صالحی، م و اشرفی زاده، ف، متالورژی سطح و تریبولوژی، انجمن علوم و تکنولوژی سطح ایران، ۱۳۷۴.
- 10.R.Wasche and D.Klaffke, *In situ formation of tribologically effective oxide interfaces in SiC- based ceramics during dry oscillating sliding*, Tribol. Lett. 5(1998) pp.173-190.
- 11.M. J. Neale and M. Gee, *Testing for industry*, Professional Engineering Publishing limited uk, 2000, pp. 7-18.
- 12.S. Hogmark, *Adhesive mechanisms in the wear of some tool steels*, Wear 38, 1979, pp. 341-359.

جدول (۴) نتایج سختی سنجی در نمونه های SiC و TiC-NiAl

| نمونه    | RA   | ویکرز |
|----------|------|-------|
| SiC      | ۹۴   | ۱۴۹۵  |
| TiC-NiAl | ۵/۸۱ | ۹۲۴   |

### نتیجه‌گیری

۱. نتایج آزمایشات نشان داد که نمونه TiC-NiAl روانکاری و عمر سایشی مناسب، اما کمی ضعیفتر از نمونه SiC دارد.
۲. در نمونه های SiC و TiC-NiAl در طی فرایند سایش لایه اکسیدی ایجاد شده در بار ۲۴۰ نیوتن پایداری مناسب را ندارد و پس از مدتی از سطح جدا می شود و به همین ترتیب جدا شدن و چسبیدن ذرات به سطح نمونه را داریم. از این رو نوع سایش در نمونه های SiC و TiC-NiAl در آزمون سایش، خراشان، چسبان و تریبولوژیمیابی است.
۳. سختی نمونه TiC-NiAl بالا و در حد قابل قبول با نمونه SiC برای کار در پمپ است. از این رو سختی بالای نمونه ها به طور موثری باعث کاهش نرخ سایش در نمونه های TiC-NiAl و SiC گردیده است.
۴. ارزیابی اولیه از خواص تریبولوژیکی نمونه TiC-NiAl در حد قابل قبول با نمونه SiC برای کاربرد در پمپ است.

### پیشنهادات

برای تکمیل نتایج کاربرد نمونه TiC-NiAl در پمپ به عنوان آب بند مکانیکی آزمون های دیگر مانند تست دوام (کار در پمپ) و خوردگی در سیالات مختلف انجام شود.

### تشکر و قدردانی

بدین وسیله از شهرک علمی تحقیقاتی اصفهان و شرکت سخت افرا به خاطر حمایت از این پژوهش، همکاری در انجام آزمون ها و فرایند تولید صمیمانه تشکر و قدردانی می نمایم.